

防衛大学校 学生会員○正寶 敏彦

〃 正会員 藤間 功司

〃 正会員 林 建二郎

〃 正会員 重村 利幸

1. はじめに

これまで風波の発達機構を解明するため数多くの研究がなされている。しかし、精度のよい現地観測や水理実験が困難なため、風の場の構造でさえ十分に分かっていない。そこで数値実験が有効な研究手段となる。藤間ら¹⁾は、 $k-\varepsilon$ モ

ルを用いた計算を試みているが、その際、剥離の再現が重要な課題であるため、壁関数を用いずに底面まで拡張されたモデルを用いた。そのため粗度の取り入れ方に問題が残っていた。そこで本報では粗度の影響を取り入れやすい $k-\omega$ モデルを用いて数値実験を行い、風洞実験の結果と比較検討する。なお、 $k-\varepsilon$ モデルとの性能の比較のため、ここでは滑面を対象とする。

2. 風洞実験の概要

実験は、図-1に示す風洞（長さ 5.0m, 幅 40cm, 高さ 38cm）の中に、波高・波長比が 1/10, 2/10 の 2種類のSIN形波状曲面を風洞の両側壁に設置して行った。流速分布をビトーメーター、底面圧力分布を底面に取り付けたマノメーターで測定した。実験条件を表-1に示す。Uc は風洞中心での風速、B は曲面中心間の距離である。なお予備実験の結果、上下方向に関してほぼ対称な流れであることが確認されている。

3. 数値実験の概要

$k-\omega$ モデルは、 $k-\varepsilon$ モデルに比べて物理的イメージが不明確だが、底面近傍においても減衰関数が不要で、粗度も取り入れやすいという長所がある。計算の手順は藤間ら¹⁾と同一である。 $k-\varepsilon$ モデルと異なる k と ω の式のみを以下に示す。

$$\frac{\partial k}{\partial t} + \frac{\partial}{\partial x_i} (u_i k) = \frac{1}{\rho} \tau_{ii} \frac{\partial u_i}{\partial x_i} - \beta^* \omega k + \frac{\partial}{\partial x_i} \left[(\nu + \sigma^* \nu_t) \frac{\partial k}{\partial x_i} \right]$$

$$\frac{\partial \omega}{\partial t} + \frac{\partial}{\partial x_i} (u_i \omega) = \frac{1}{\rho} \frac{\gamma \omega}{k} \tau_{ii} \frac{\partial u_i}{\partial x_i} - \beta \omega^2 + \frac{\partial}{\partial x_i} \left[(\nu + \sigma \nu_t) \frac{\partial \omega}{\partial x_i} \right]$$

$$\nu_t = \gamma^* \frac{k}{\omega}, \quad \frac{\tau_{ii}}{\rho} = 2\nu_t S_{ii} - \frac{2}{3} k \delta_{ii}, \quad S_{ii} = \frac{1}{2} \left(\frac{\partial u_i}{\partial x_i} + \frac{\partial x_i}{\partial x_i} \right)$$

$$\beta = \frac{3}{40}, \quad \beta^* = \frac{9}{100}, \quad \gamma = \frac{5}{9}, \quad \gamma^* = 1, \quad \sigma = \frac{1}{2}, \quad \sigma^* = \frac{1}{2}$$

境界条件としては次式を用いた。

$$y=0 \quad (\text{底面}) : \quad k=0, \quad \omega = \frac{6\nu}{\beta y^2}$$

$$y=\delta \quad (y=\frac{B}{2}) : \quad \frac{\partial h}{\partial y} = \frac{\partial \omega}{\partial y} = 0$$

4. 考察

CASE A-Mの流速分布と圧力分布の比較を図-2, 3に示す。同様にCASE C-Mの比較を図-4, 5に示す。図-2~5中、

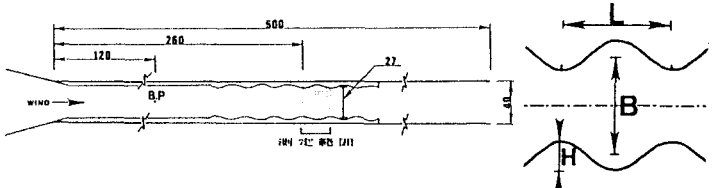


図-1 実験風洞

表-1 実験条件

CASE	A-M	C-M
L (m)	0.3	0.2
H (m)	0.03	0.04
B (m)	0.27	0.27
Uc (m/s)	16.7	19.5

○印が実験値、実線が $k-\varepsilon$ モデルの計算結果、破線が $k-\omega$ モデルの計算結果である。

CASE A-Mでは、流速、圧力とも $k-\varepsilon$ と $k-\omega$ の計算結果には顕著な差異は見られず、いずれもほぼ実験結果を再現している。ただし、いずれの計算でも圧力分布の非対称性は十分には再現できていない。

CASE C-Mでは $k-\omega$ の方が、剥離領域が大きく出ている。このことから、同一条件下では、 $k-\omega$ の方が剥離を起こしやすい特性があると言えるであろう。実験値と比較すると $k-\varepsilon$ モデルの方が実験値に近い結果を与えており、いずれもあまり一致していない。

圧力分布から下式で定義した抵抗係数 C_D を計算したものを表-2に示す。表-2より、 $k-\varepsilon$ と $k-\omega$ はほぼ同等な C_D 値を与えていることが分かる。圧力分布がほぼ再現されているCASE A-Mよりも、CASE C-Mの方が実験値と一致しているのは、圧力分布の左右非対称な成分が C_D に寄与するからである。

$$C_D = \frac{-\frac{1}{L} \int_0^L P \frac{\pi H}{L} \sin \frac{2\pi x}{L} dx}{\frac{1}{2} \rho U_c^2}$$

5. おわりに

$k-\varepsilon$ と $k-\omega$ の両モデルを比較して以下のことが分かった。
① $k-\omega$ の方がやや剥離しやすい性質がある。
② C_D 値に関してはほぼ同等な性能を持つ。ただし必ずしも圧力分布が正確に再現されているわけではない。

参考文献

1) 藤間ら：水面波上の風の場の数値計算，第37回海講，1990

表-2 抵抗係数 C_D

CASE	C_D	
	A-M	C-M
$k-\varepsilon$	4.92×10^{-3}	1.57×10^{-2}
$k-\omega$	5.38×10^{-3}	1.63×10^{-2}
実験	1.25×10^{-2}	1.51×10^{-2}

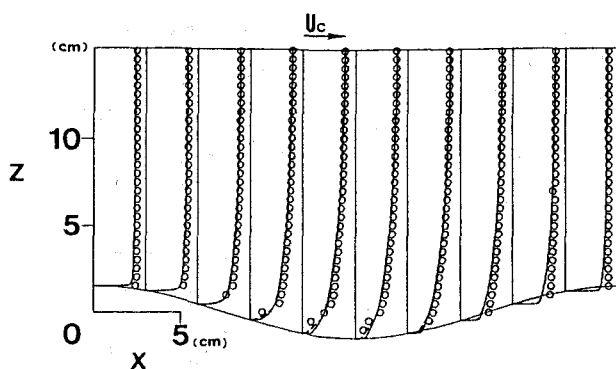


図-2 流速分布 (A-M)

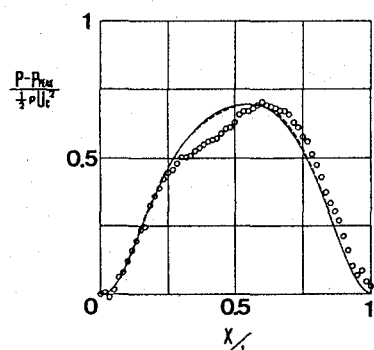


図-3 底面圧力分布 (A-M)

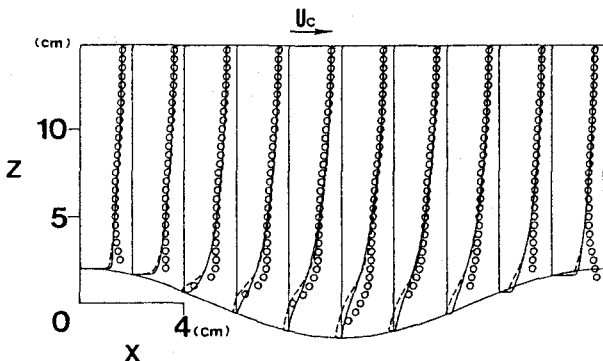


図-4 流速分布 (C-M)

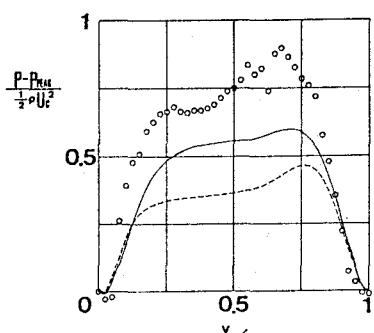


図-5 底面圧力分布 (C-M)